Boder Bases による代数曲線回帰について

手島悠人

基幹理工学研究科 数学応用数理専攻 5110A030-8 指導教員名 楫 元

2012/02/07

Quetion

誤差を持つ観測値 $\mathbb{X} = \{(x_1, y_1), ..., (x_s, y_s)\} \subset \mathbb{R}^2$ が与えられているとする. これらはある代数曲線上の点だと考えられる.

その代数曲線を定める多項式 $f(x,y) \in \mathbb{R}[x,y]$ を求めよ.

Quetion

誤差を持つ観測値 $\mathbb{X}=\left\{(x_1,y_1),...,(x_s,y_s)\right\}\subset\mathbb{R}^2$ が与えられているとする. これらはある代数曲線上の点だと考えられる. その代数曲線を定める多項式 $f(x,y)\in\mathbb{R}[x,y]$ を求めよ.

既存の方法として最小二乗法が良く用いられる。

Quetion

誤差を持つ観測値 $\mathbb{X}=\left\{(x_1,y_1),...,(x_s,y_s)\right\}\subset\mathbb{R}^2$ が与えられているとする. これらはある代数曲線上の点だと考えられる. その代数曲線を定める多項式 $f(x,y)\in\mathbb{R}[x,y]$ を求めよ.

- 既存の方法として最小二乗法が良く用いられる。
 - step1, データの収集

Quetion

誤差を持つ観測値 $\mathbb{X}=\left\{(x_1,y_1),...,(x_s,y_s)\right\}\subset\mathbb{R}^2$ が与えられているとする. これらはある代数曲線上の点だと考えられる. その代数曲線を定める多項式 $f(x,y)\in\mathbb{R}[x,y]$ を求めよ.

- 既存の方法として最小二乗法が良く用いられる。
 - step1, データの収集
 - step2, 多項式の次数を決める。

Quetion

誤差を持つ観測値 $\mathbb{X}=\left\{(x_1,y_1),...,(x_s,y_s)\right\}\subset\mathbb{R}^2$ が与えられているとする. これらはある代数曲線上の点だと考えられる. その代数曲線を定める多項式 $f(x,y)\in\mathbb{R}[x,y]$ を求めよ.

- 既存の方法として最小二乗法が良く用いられる。
 - step1, データの収集
 - step2, 多項式の次数を決める.
 - step3, 多項式の係数を決める.

Quetion

誤差を持つ観測値 $\mathbb{X}=\left\{(x_1,y_1),...,(x_s,y_s)\right\}\subset\mathbb{R}^2$ が与えられているとする. これらはある代数曲線上の点だと考えられる. その代数曲線を定める多項式 $f(x,y)\in\mathbb{R}[x,y]$ を求めよ.

- 既存の方法として最小二乗法が良く用いられる。
 - step1, データの収集
 - step2, 多項式の次数を決める. → 次数を決める数学的な 評価方法が無い。
 - step3, 多項式の係数を決める.

[2] において、Border Bases を用いて近似式を得ている例がある. Border Bases...近年,代数幾何学や計算代数等で注目

- [2] において、Border Bases を用いて近似式を得ている例がある. Border Bases...近年,代数幾何学や計算代数等で注目
- → この方法では, 次数を決める必要はない. 他にも有用だと考えられる点はあるが, ほとんど記述はない.

- [2] において、Border Bases を用いて近似式を得ている例がある. Border Bases...近年、代数幾何学や計算代数等で注目
- → この方法では、次数を決める必要はない。 他にも有用だと考えられる点はあるが、ほとんど記述はない。
- → このアイデアを元に Border Bases 法の性質や課題を調べた.

Definition

$$P=\mathbb{R}[x_1,...,x_n]$$
, $\mathcal{O}\in\mathbb{T}^n(=\left\{x_1^{a_1}\cdots x_n^{a_n}\mid a_i\in\mathbb{Z}_{\geq 0}
ight\})$ とする.

- (a) \mathcal{O} : **order ideal** \iff 「 $t \in \mathbb{T}^n$ に対し $\exists t' \in \mathcal{O}$ s.t. $t \mid t' \Rightarrow t \in \mathcal{O}$ 」を満たす power product の集合.
- (b) $\mathcal{I} \subset P$: zero-dimensional ideal(零点集合が有限な ideal) とする. \mathcal{O} : **quotient basis** for $\mathcal{I} \iff_{\operatorname{def}} \mathcal{O}$: order ideal かつ P/\mathcal{I} の basis
- (c) $\partial \mathcal{O} = (x_1 \mathcal{O} \cup ... \cup x_n \mathcal{O}) \setminus \mathcal{O}$ を border of \mathcal{O} という.

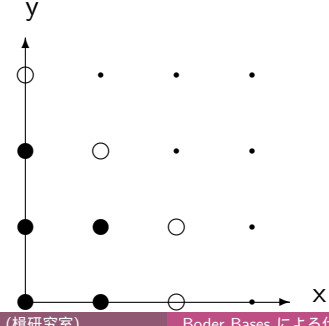
Example

$$\mathcal{I} = \langle x^2 + xy + y^2 - x - y, xy^2 - y, y^3 - y + 1 \rangle$$

次数付き逆辞書式順序で $\operatorname{LT}(\mathcal{I}) = \left\{x^2, xy^2, y^3\right\}$

$$\mathcal{O} = \{1, x, y, xy, y^2\}$$
 は P/\mathcal{I} の basis かつ order ideal

 $ightarrow \mathcal{O}$ It quotient basis for \mathcal{I} border It $\partial \mathcal{O} = \left\{ x^2, x^2y, xy^2, y^3 \right\}$



- : order ideal
- \circ : border

Definition

 $\mathcal{O} = \left\{ t_1,...,t_{\mu} \right\}$: order ideal , $\partial \mathcal{O} = \left\{ b_1,...,b_{\nu} \right\}$: border of \mathcal{O} $g_i = b_j - \sum_{i=1}^{\mu} \alpha_{ij} t_i$ とし, $\mathcal{B} = \left\{ g_1,...,g_{\nu} \right\}$ とおく. $\mathcal{I} \subset \mathcal{P}$: zero dimensional ideal , $\mathcal{B} \subset \mathcal{I}$ とする.

このとき, $\mathcal O$ が quotient basis for $\mathcal I$ ならば $\mathcal B$ を $\mathcal O$ - border basis of $\mathcal I$ という.

Definition

- $\mathcal{O} = \left\{t_1,...,t_{\mu}\right\}$: order ideal , $\partial \mathcal{O} = \left\{b_1,...,b_{\nu}\right\}$: border of \mathcal{O} $g_i = b_j \sum_{i=1}^{\mu} \alpha_{ij} t_i$ とし, $\mathcal{B} = \left\{g_1,...,g_{\nu}\right\}$ とおく. $\mathcal{I} \subset \mathcal{P}$: zero dimensional ideal , $\mathcal{B} \subset \mathcal{I}$ とする.
- このとき, $\mathcal O$ が quotient basis for $\mathcal I$ ならば $\mathcal B$ を $\mathcal O$ border basis of $\mathcal I$ という.

Proposition

 $\mathcal{B}:\mathcal{O}$ -border basis of \mathcal{I} \Rightarrow $\mathcal{I}=\mathcal{B}$

Example

$$\begin{array}{ll} f_1 = \frac{1}{4}x^2 + y^2 - 1, & f_2 = x^2 + \frac{1}{4}y^2 - 1, & \mathcal{I} = \langle f_1, f_2 \rangle \\ \tilde{f}_1 = \frac{1}{4}x^2 + y^2 + \varepsilon xy - 1, & \tilde{f}_2 = x^2 + \frac{1}{4}y^2 + \varepsilon xy - 1, & \tilde{\mathcal{I}} = \langle \tilde{f}_1, \tilde{f}_2 \rangle \end{array}$$

reduced G-Basis	B-Basis
	$\begin{cases} \left\{ x^2 - \frac{4}{5}, x^2 y - \frac{4}{5} y, \\ xy^2 - \frac{4}{5} x, y^2 - \frac{4}{5} \right\} \end{cases}$
$ \tilde{\mathcal{I}} \begin{cases} x^2 - y^2, \\ xy + \frac{5}{4\varepsilon}y^2 - \frac{1}{\varepsilon}, \\ y^3 - \frac{16\varepsilon}{16\varepsilon^2 - 25}x + \frac{20}{16\varepsilon^2 - 25}y \end{cases} $	$\begin{cases} x^2 + \frac{4\varepsilon}{5}xy - \frac{4}{5}, \\ x^2y - \frac{16\varepsilon}{16\varepsilon^2 - 25}x + \frac{20}{16\varepsilon^2 - 25}y, \\ xy^2 + \frac{20}{16\varepsilon^2 - 25}y - \frac{16\varepsilon}{16\varepsilon^2 - 25}y, \\ y^2 + \frac{4\varepsilon}{5}xy - \frac{4}{5} \end{cases}$

Definition

$$\mathbb{X}=ig\{p_1,...,p_sig\}\subset\mathbb{R}^n, \quad \mathcal{O}=ig\{t_1,...,t_\muig\}$$
: order ideal とする.

このとき、 \mathcal{O} が stable with respect to \mathbb{X}^{ε} \iff $\forall \tilde{\mathbb{X}}$: admissible perturbation of \mathbb{X}^{ε} において

$$M_{\mathcal{O}}(ilde{\mathbb{X}}) = \left[egin{array}{ccc} t_1(ilde{
ho_1}) & \cdots & t_{\mu}(ilde{
ho_1}) \ dots & \ddots & dots \ t_1(ilde{
ho_s}) & \cdots & t_{\mu}(ilde{
ho_s}) \end{array}
ight] \in \operatorname{Mat}_{s,\mu}(\mathbb{R})$$

が full rank である.

Definition

$$\mathbb{X}=ig\{p_1,...,p_sig\}\subset\mathbb{R}^n, \quad \mathcal{O}=ig\{t_1,...,t_\muig\}$$
: order ideal とする.

このとき、 \mathcal{O} が stable with respect to \mathbb{X}^{ε} \iff $\forall \tilde{\mathbb{X}}$: admissible perturbation of \mathbb{X}^{ε} において

$$M_{\mathcal{O}}(\tilde{\mathbb{X}}) = \left[egin{array}{ccc} t_1(ilde{
ho_1}) & \cdots & t_{\mu}(ilde{
ho_1}) \ dots & \ddots & dots \ t_1(ilde{
ho_s}) & \cdots & t_{\mu}(ilde{
ho_s}) \end{array}
ight] \in \operatorname{Mat}_{s,\mu}(\mathbb{R})$$

が full rank である.

stable な order ideal から構成されるような Border Bases を Stable Border Bases という.

Proposition

```
\mathbb{X} \subset \mathbb{R}^n, \mathcal{O} = \big\{t_1,...,t_s\big\} quotient basis for \mathcal{I}(\mathbb{X}), \mathcal{O}: stable with respect to \mathbb{X}^{\varepsilon}, \partial \mathcal{O} = \big\{b_1,...,b_{\nu}\big\} とする.
```

- (a) $\forall \tilde{\mathbb{X}}$: admissible perturbation of \mathbb{X}^{ε} について, $\mathcal{I}(\tilde{\mathbb{X}})$ は \mathcal{O} -Border Basis を持つ.
- (b) $ilde{\mathcal{B}}: \mathcal{O} ext{-Border Basis of }\mathcal{I}(ilde{\mathbb{X}})$ は $ilde{\mathcal{B}}=\left\{g_1,...,g_{
 u}
 ight\}$ ただし, $g_i=b_j-\sum_{i=1}^s lpha_{ij}t_i$

Proposition

```
\mathbb{X} \subset \mathbb{R}^n, \mathcal{O} = \big\{t_1,...,t_s\big\} quotient basis for \mathcal{I}(\mathbb{X}), \mathcal{O}: stable with respect to \mathbb{X}^{\varepsilon}, \partial \mathcal{O} = \big\{b_1,...,b_{\nu}\big\} とする.
```

- (a) $\forall \tilde{\mathbb{X}}$: admissible perturbation of \mathbb{X}^{ε} について, $\mathcal{I}(\tilde{\mathbb{X}})$ は \mathcal{O} -Border Basis を持つ.
- (b) $ilde{\mathcal{B}}: \mathcal{O} ext{-Border Basis of } \mathcal{I}(ilde{\mathbb{X}})$ は $ilde{\mathcal{B}}=\left\{g_1,...,g_{
 u}
 ight\}$ ただし, $g_i=b_j-\sum_{i=1}^s lpha_{ij}t_i$

つまり, $\mathcal{I}(\mathbb{X})$ の Stable Border Basis と $\mathcal{I}(\tilde{\mathbb{X}})$ の Stable Border Basis は 係数部分が少し異なるだけ.

Proposition

- $\mathbb{X} \subset \mathbb{R}^n$, $\mathcal{O} = \big\{t_1,...,t_s\big\}$ quotient basis for $\mathcal{I}(\mathbb{X})$, \mathcal{O} : stable with respect to \mathbb{X}^{ε} , $\partial \mathcal{O} = \big\{b_1,...,b_{\nu}\big\}$ とする.
- (a) $\forall \tilde{\mathbb{X}}$: admissible perturbation of \mathbb{X}^{ε} について, $\mathcal{I}(\tilde{\mathbb{X}})$ は \mathcal{O} -Border Basis を持つ.
- (b) $ilde{\mathcal{B}}: \mathcal{O} ext{-Border Basis of } \mathcal{I}(ilde{\mathbb{X}})$ は $ilde{\mathcal{B}} = \left\{g_1,...,g_{
 u}
 ight\}$ ただし, $g_i = b_j \sum_{i=1}^s lpha_{ij} t_i$
- つまり, $\mathcal{I}(\mathbb{X})$ の Stable Border Basis と $\mathcal{I}(\tilde{\mathbb{X}})$ の Stable Border Basis は 係数部分が少し異なるだけ.
 - $ightarrow ilde{\mathbb{X}}$ から $\mathcal{I}(\mathbb{X})$ を推定(近似)できる.



Example.1 直線回帰

$$\tilde{\mathbb{X}} = \left\{ (0,0), (1,3), (2,5.9), (3.1,9) \right\}$$
 が与えられている.

$$\begin{array}{ll} \underset{\mathrm{CoCoA}}{\rightarrow} & \mathsf{Stable\ Order\ Ideal}:\ \mathcal{O} = \left\{1, y, y^2, y^3\right\} \\ & \mathsf{border\ of}\ \mathcal{O}:\ \partial \mathcal{O} = \left\{x, xy, xy^2, xy^3, y^4\right\} \end{array}$$

Stable Border Basis :
$$\mathcal{B} = \left\{ \begin{array}{l} x + 0.000031y^3 - 0.00022y^2 - 0.327y, \\ xy - 0.00017y^3 - 0.330y^2 + 0.0049y, \\ xy^2 - 0.360y^3 + 0.168y^2 - 0.267y, \\ y^4 - 17.9y^3 + 97.8y^2 - 159.3y, \\ xy^3 - 6.27y^3 + 34.93y^2 - 57.32y \end{array} \right\}$$

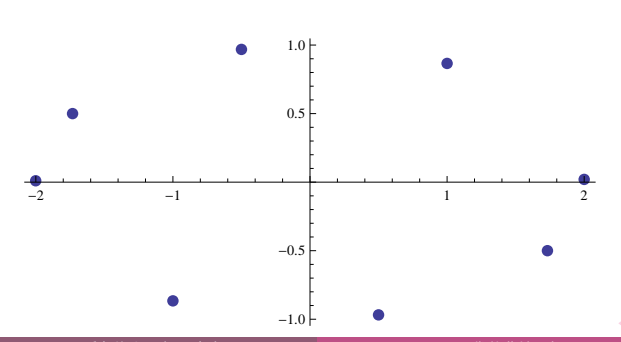
Example.1 直線回帰

$$x + 0.000031y^3 - 0.00022y^2 - 0.327y \approx x - 0.327y$$

$$\mathcal{I}(\mathbb{X}) = \langle x - 0.327y \rangle$$
 と推定できる.

最小二乗法では、y = 2.90x - 0.0494 と推定できる.

$$\tilde{\mathbb{X}} = \left\{ (1, 0.86603), (-1, -0.86603), (1.73205, -0.5), \\ (-1.73205, 0.5), (2, 0.02), (-2.001, 0.01), \\ (0.5, -0.96825), (-0.5, 0.96825) \right\}$$



 $\underset{\mathrm{CoCoA}}{\rightarrow} \text{ Stable Order Ideal}: \ \mathcal{O} = \left\{1, x, y, y^2, xy, x^2, y^3, xy^2\right\}$

$$\mathcal{B} = \left\{ \begin{array}{c} x^3 + 4.0039xy^2 + 0.00759y^3 + 0.001005x^2 - 0.000134xy \\ +4.021y^2 - 4.00228x - 0.00634y - 4.02, \\ \vdots \end{array} \right\}$$

 $\underset{\mathrm{CoCoA}}{\rightarrow} \text{ Stable Order Ideal}: \ \mathcal{O} = \left\{1, x, y, y^2, xy, x^2, y^3, xy^2\right\}$

$$\mathcal{B} = \left\{ \begin{array}{c} x^3 + 4.0039xy^2 + 0.00759y^3 + 0.001005x^2 - 0.000134xy \\ +4.021y^2 - 4.00228x - 0.00634y - 4.02, \\ \vdots \end{array} \right\}$$

10-2 以下を無視すると、

$$x^3 + 4.0039xy^2 + 0.00759y^3 + 0.001005x^2 - 0.000134xy \\ + 4.021y^2 - 4.00228x - 0.00634y - 4.02$$

$$\approx x^3 + 4xy^2 + x^2 + 4y^2 - 4x - 4 = (x^2 + 4y^2 - 4)(x+1)$$
 となる.

 $\underset{\mathrm{CoCoA}}{\rightarrow} \text{ Stable Order Ideal}: \ \mathcal{O} = \left\{1, x, y, y^2, xy, x^2, y^3, xy^2\right\}$

$$\mathcal{B} = \left\{ \begin{array}{c} x^3 + 4.0039xy^2 + 0.00759y^3 + 0.001005x^2 - 0.000134xy \\ +4.021y^2 - 4.00228x - 0.00634y - 4.02, \\ \vdots \end{array} \right\}$$

10-2 以下を無視すると,

$$x^3 + 4.0039xy^2 + 0.00759y^3 + 0.001005x^2 - 0.000134xy \\ + 4.021y^2 - 4.00228x - 0.00634y - 4.02$$

$$\approx x^3 + 4xy^2 + x^2 + 4y^2 - 4x - 4 = (x^2 + 4y^2 - 4)(x+1)$$
 となる.

最小二乗法では,

$$x^2 - 0.039xy + 3.984y^2 + 0.011x + 0.034y - 4.015$$

と推定できる.

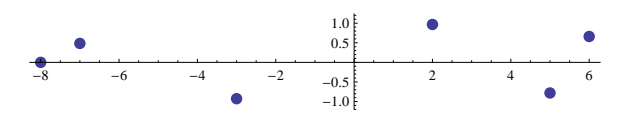
Example.3 楕円 or 直線

$$\tilde{\mathbb{X}} = \big\{ (-8,0), (-7,0.484), (-3,-0.927), (2,0.968), \\ (5,-0.781), (-6,0.661) \big\}$$

最小二乗法では,

一次:y = 0.00946x + 0.00754

二次: $x^2 + 0.00485xy + 64.00y^2 - 0.000645x + 0.00222y - 64.00 = 0$





Example.3 楕円 or 直線

Border Bases 法では,

$$\mathcal{B} = \left\{ \begin{array}{l} x^2 - 0.03494y^3 - 0.00429xy + 64.013y^2 - 0.000557x \\ +0.0487y - 64.0045, \\ x^2y + 64.024y^3 - 0.001261xy - 0.0009956y^2 + 0.00215x \\ -64.01y + 0.01721, \\ \vdots \end{array} \right\}$$

$$\approx \left\{ \begin{array}{l} x^2 + 64.01y^2 - 64.00\\ y(x^2 + 64.02y^2 - 64.01)\\ \vdots \end{array} \right\}$$

となる.



考察・課題

• データの量が十分多ければ、任意の次数の代数曲線で近似できる.

- データの量が十分多ければ、任意の次数の代数曲線で近似できる.
- 何次の代数曲線で近似する事が適当であるか調べる事が出来る.

- データの量が十分多ければ、任意の次数の代数曲線で近似できる。
- 何次の代数曲線で近似する事が適当であるか調べる事が出来る.
- ℝ[x₁,...,x_n] 上でも近似可能(理論上).

- データの量が十分多ければ、任意の次数の代数曲線で近似できる.
- 何次の代数曲線で近似する事が適当であるか調べる事が出来る.
- ℝ[x₁,...,x_n] 上でも近似可能(理論上).
- 得られるであろう代数曲線が、既約で無い多項式の因数として現れる 事がある。

- データの量が十分多ければ、任意の次数の代数曲線で近似できる.
- 何次の代数曲線で近似する事が適当であるか調べる事が出来る.
- ℝ[x₁,...,x_n] 上でも近似可能(理論上).
- 得られるであろう代数曲線が、既約で無い多項式の因数として現れる 事がある。
- 検定統計量が不明.

考察・課題

- データの量が十分多ければ、任意の次数の代数曲線で近似できる。
- 何次の代数曲線で近似する事が適当であるか調べる事が出来る。
- ℝ[x₁, ..., x_n] 上でも近似可能(理論上).
- 得られるであろう代数曲線が、既約で無い多項式の因数として現れる 事がある.
- 検定統計量が不明。
- 「データが少ない、サンプルにばらつきがない、異常なデータの存在」 等により、推定が困難になる.

17 / 17

考察・課題

- データの量が十分多ければ、任意の次数の代数曲線で近似できる。
- 何次の代数曲線で近似する事が適当であるか調べる事が出来る。
- ℝ[x₁,...,x_n]上でも近似可能(理論上).
- 得られるであろう代数曲線が、既約で無い多項式の因数として現れる 事がある。
- 検定統計量が不明.
- 「データが少ない, サンプルにばらつきがない, 異常なデータの存在」等により, 推定が困難になる.

課題は多いが、Border Bases 法は独自の強みを持った、 代数曲線回帰の新しいアプローチだと言える.